

Sellers, E. J., Katakata, M. O., and
Linzer, L. M.,
Source parameters of acoustic
emission events and scaling with
mining-induced seismicity,
JGR 108, B9, 10.1029/2001JB000670

廣瀬仁
2004年5月31日

背景 1

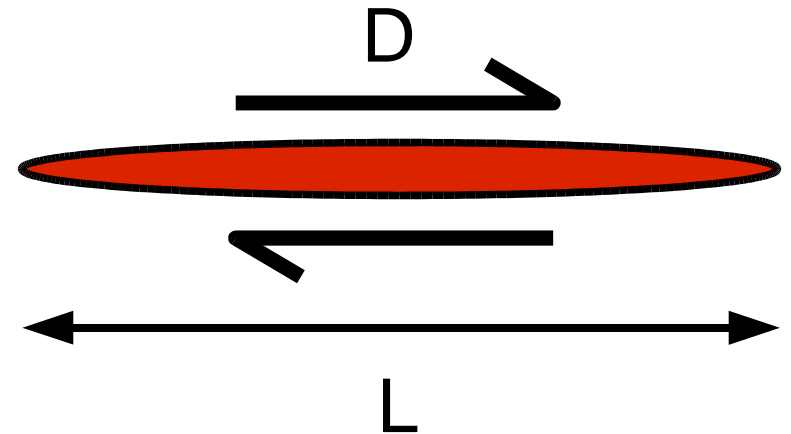
- 大きな地震 (破壊) と小さな地震 (破壊) では働く物理プロセスは同じか? 異なるか?
 - 同じなら、実験や微小地震の研究で大地震のことも分かる (小さい研究室にはありがたい)
 - 異なるなら、大地震を経験しない限り大地震のことは分からない (E-defense的?)
- 大小地震でスケージング則が成り立つとして
 - 上限: 地震発生層の深さ・幅
 - 下限: 原子間隔・粒子サイズ; 測定装置の限界

背景 2

- 応力降下量

- 地震の規模によらず一定 [断層は自己相似的]
- 規模に依存する [あるユニバーサルパラメタで記述可能?]

$$\Delta\sigma \propto D/L$$



- Gutenberg-Richter の関係

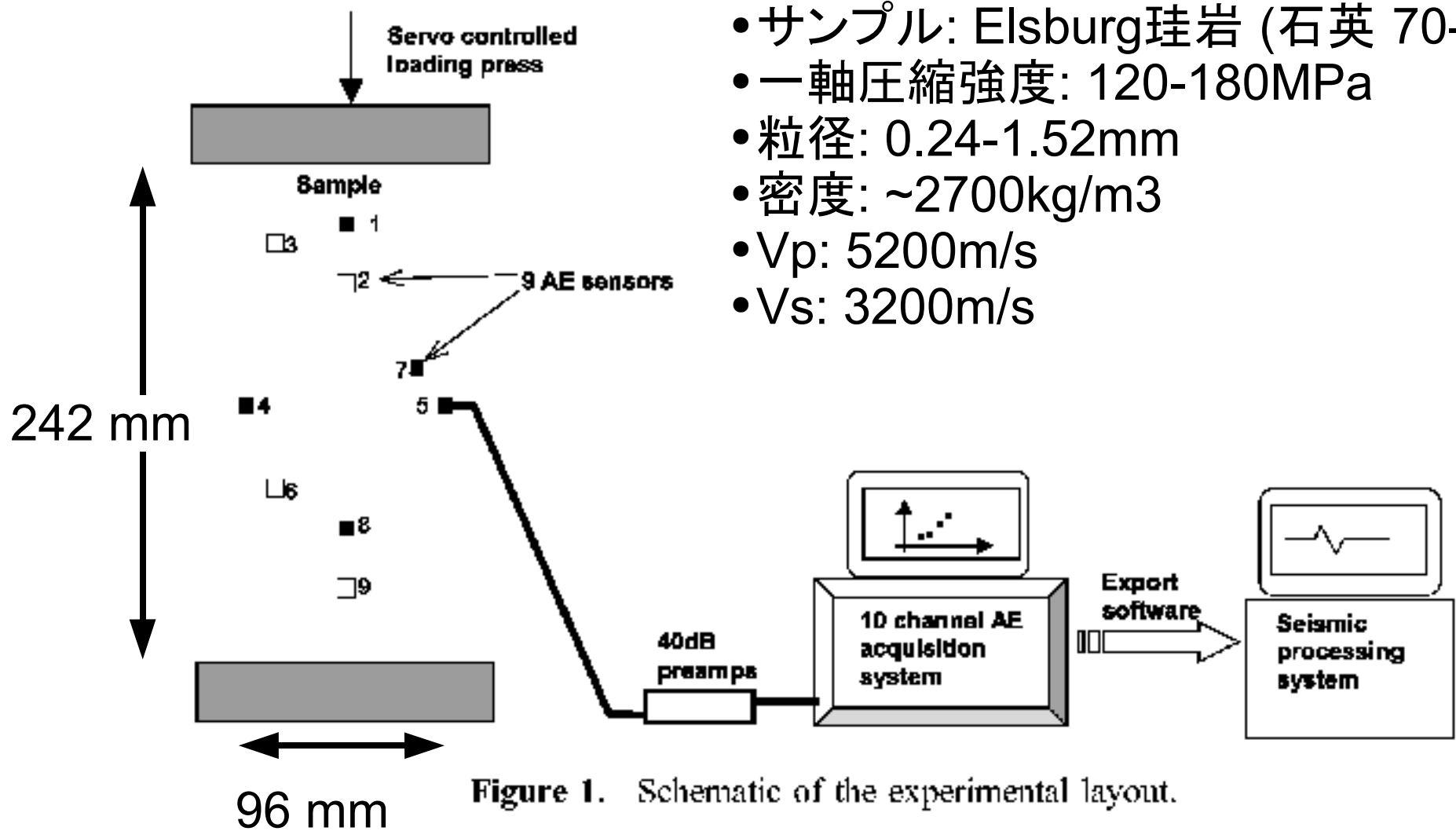
- 自己相似的な断層

$$\log N = a - bm$$

この研究の目的

- 金鉱山で発生する、掘削に誘発される微小地震の予測アルゴリズムの改良
- 鉱山地震の応力状態（高垂直応力・低水平応力）を模した最も簡単な系である一軸圧縮実験で発生するAEを調べる
- 地震学的なパラメタを推定して、自然地震や鉱山地震と比較
- スケーリング則の検証

実験方法



- サンプル: Elsburg珪岩 (石英 70-84%)
- 一軸圧縮強度: 120-180MPa
- 粒径: 0.24-1.52mm
- 密度: ~2700kg/m³
- V_p: 5200m/s
- V_s: 3200m/s

Figure 1. Schematic of the experimental layout.

- 速度波形; 100-1000kHz
- サンプリングレート: 4MHz

震源パラメタの推定

Brune (1970) のモデルに基づく

- 地震モーメント

$$M_0 = 4\pi\rho\beta^3 R \Omega_0 / f_{\theta\phi}^\beta$$

- 応力降下量

$$\Delta\sigma = \frac{7}{16} \frac{M_0}{r^3}$$

$$r = \frac{2.34}{\pi} \frac{\beta}{f_0}$$

$$\Omega(f) = \frac{\Omega_0 \exp(-\kappa f)}{1 + (f/f_0)^2}, \quad \kappa = \frac{\pi R}{Q\beta}$$

波形例

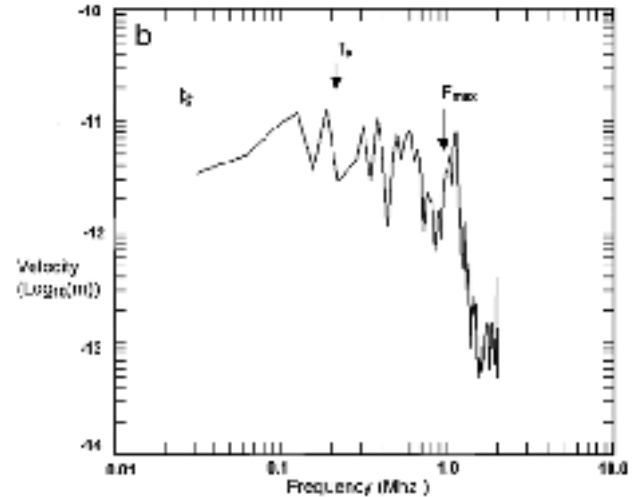
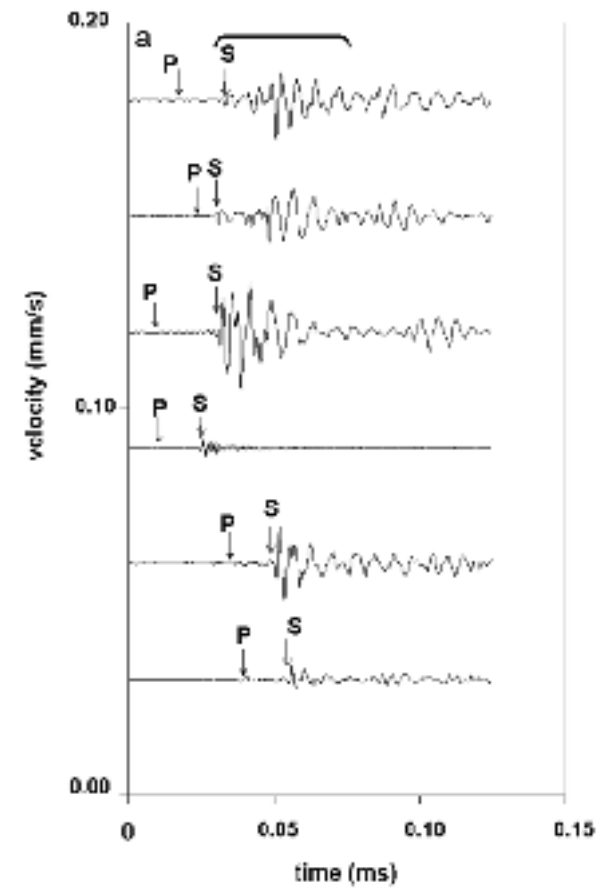
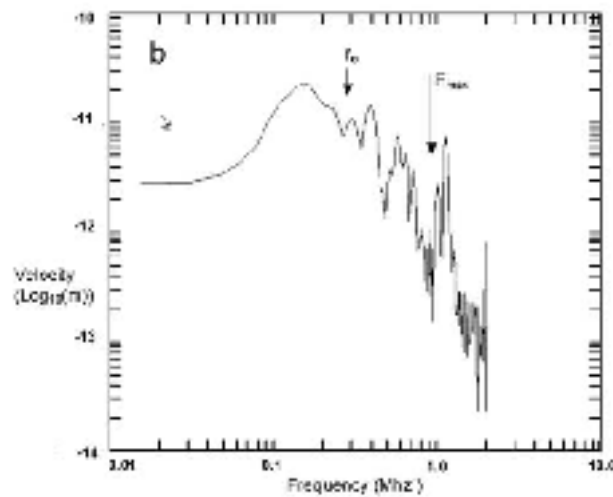
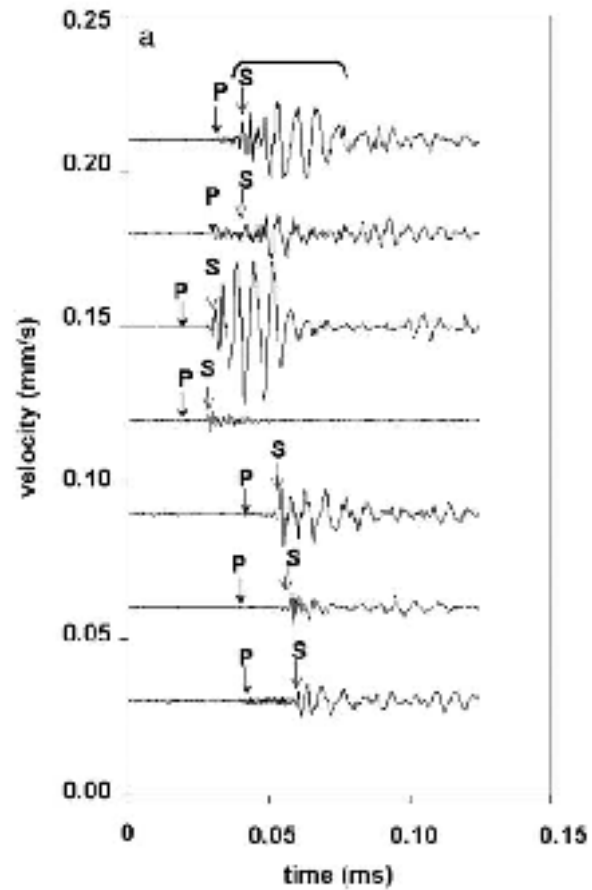


Figure 2. (a) Velocity waveforms (with offset axes) for event 41 showing the *P* wave and *S* wave picks and the window used for the (b) *S* wave velocity spectra for

Figure 3. (a) Velocity waveforms (with offset axes) for event 10149 showing the *P* wave and *S* wave picks and the window used for the (b) *S* wave velocity spectra for

モーメントテンソルの推定

- 絶対法

- 理論的Green関数
- 通常は Ray path を単純化
- 震源位置・波形の振幅に敏感に依存

- 相対法

- 単独基準イベント
 - 基準イベントのGreen関数を別の方法で推定
 - クラスタ内の地震は共通のRay pathと仮定
- 複数基準イベント
 - 3つ以上のメカニズムの異なる地震 [Daum et al., 1997]
 - 基準イベントが似たメカニズムなら分解が困難

Hybrid moment tensor inversion (1)

- イタレーション法
- 重み付けに工夫
 - センサー付近の影響での増幅/減衰を考慮
 - 波線の focusing / defocusing を補正

Andersen (2001)

Hybrid MT inversion (2)

- インバージョンの定式

$$u_j(x, t) = G_{jp, q}(x, t; \xi, t') M_{pq}(\xi, t')$$

全成分で同じ時間依存
震源時間関数はdelta関数

$$u_j = G_{jp, q} M_{pq}$$

$$\mathbf{u} = \mathbf{G} \mathbf{m}$$

Hybrid MT inversion (3)

$$\mathbf{u}_{ijkl}^{\text{new}} = \mathbf{u}_{ijkl}^{\text{old}} + w_{\text{IterNo}} \left(\bar{r}_{jkl} - 1 \right) \mathbf{u}_{ijkl}^{\text{old}}$$

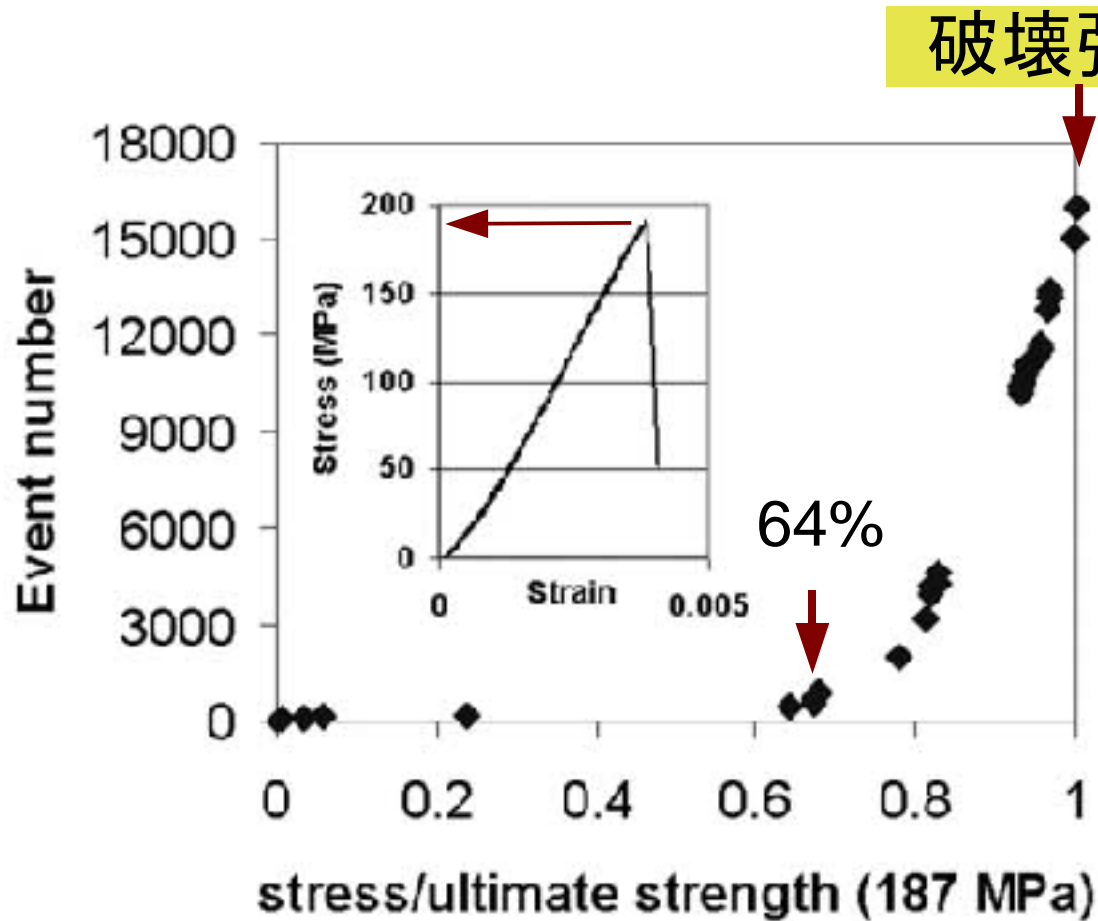
$$\bar{r}_{jkl} = \text{median} \left(\frac{\mathbf{u}_{ijkl}^{\text{th}}}{\mathbf{u}_{ijkl}^{\text{obs}}} \right)_{i=1, \dots, N_{eq}}$$

i : イベント
 j : 観測点
 k : 震動成分 (1, 2, 3)
 l : P波 (1), S波 (2)

$$w_{\text{IterNo}} = \frac{10^{(\text{IterNo} - 1) / 10}}{10} \quad (\text{繰り返し回数で単調増加})$$

$$\mathbf{u}_i = \mathbf{G}_i \mathbf{m}_i$$

結果 (1) AE回数の推移



AE回数増加

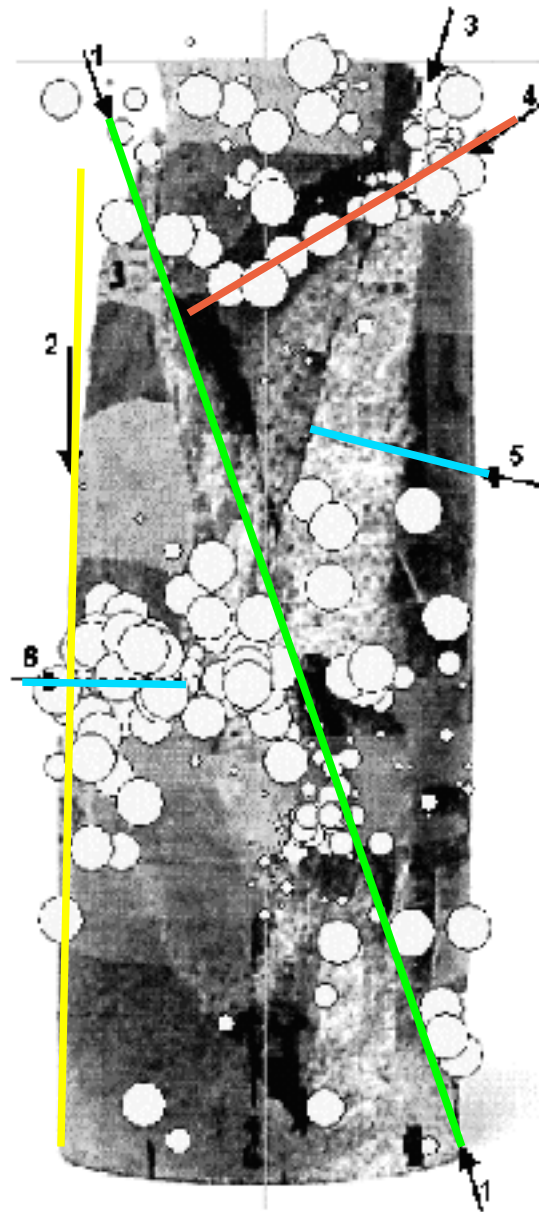
初期段階では震源は
サンプル全体に分布

徐々に最終破断面に
沿って並ぶ

Figure 4. Number of acoustic emissions (AE) related to the ratio of stress to ultimate strength. The inset graph indicates the stress-strain curve.

AEの分布

垂直に近い面



低傾斜面

ほぼ水平面

最終破断面

Figure 5. AE locations (circles scaled in area to event number) in the unconfined compression test, superimposed on a photograph of the (reconstructed) failed specimen. Horizontal banding results from tape marks, not sample anisotropy. Arrows indicate the main failure planes.

モーメントテンソル解

8つのクラスター

(1) 主破断面のAE

面とほぼ一致・走向が異なる

一軸・円筒サンプルでは方向性の影響は余り強くない

(2) その他のAE

結構ばらばら

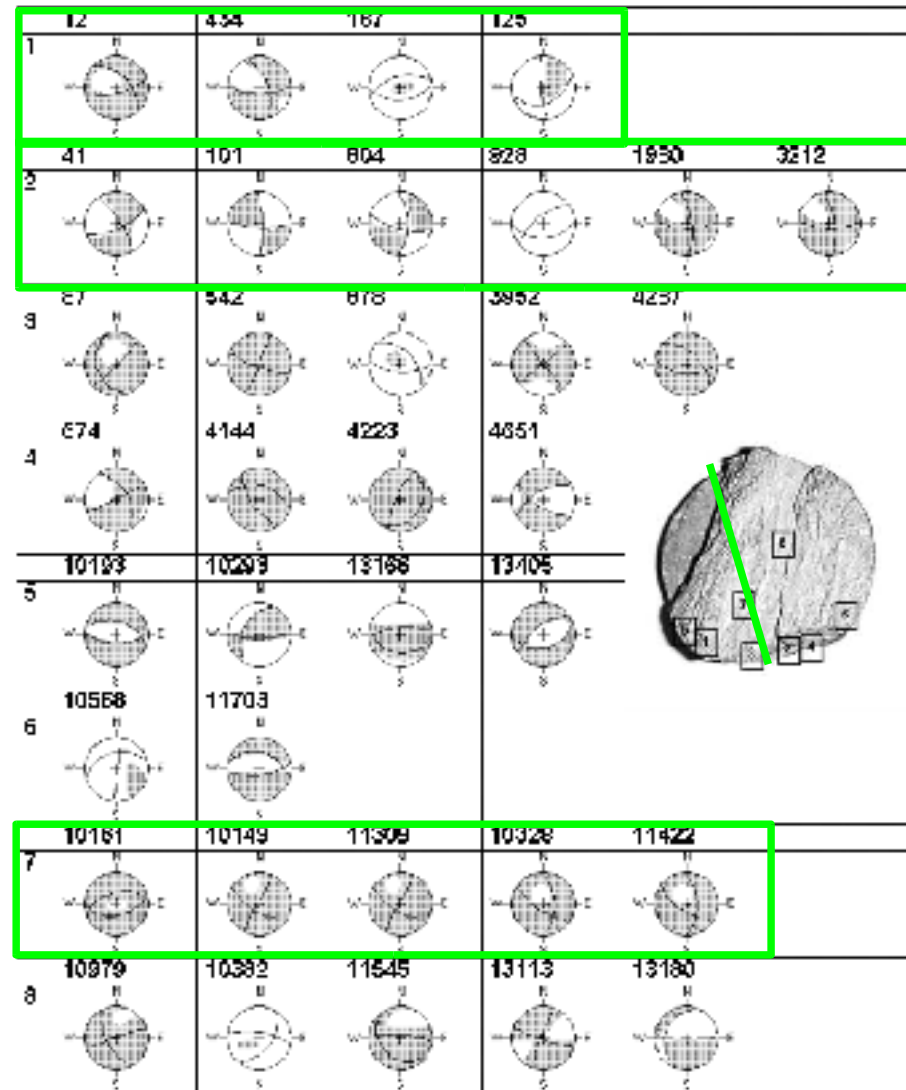


Figure 7. Focal plane plots of the moment tensor solutions for the eight clusters of events and a top view of the sample showing the cluster positions. A lower hemisphere equal area projection is used, where the shaded area represents the region of compressional P wave motions.

モーメントテンソル解 (2)

Table 1. Moment Tensor Results for Events Used in This Study

Cluster	Event ID	M_0 , Ntn	σ_{max} , %	%S0	%DC	ν	Strike 1	Dip 1	Rake 1	Strike 2	Dip 2	Rake 2
1	12	0.002	0	35	73	0.11					64	-124
1	434	0.005	1	71	70	0.15					64	140
1	187	0.022	3	-44	52	0.24					47	82
1	125	0.007	1	43	66	0.17						38
2	41	0.030	6	-10	49	0.25						-28
2	101	0.023	21	1	89	0.07						160
2	801	0.013	04	-16	65	0.08	359	59	-38	101	67	-145
2	528	0.033	67	56	44	0.28					59	68
2	1980	0.054	67	45	77	0.12					70	-153
2	3217	0.117	68	31	65	0.18					67	139
3	87	0.010	68	39	21	0.24	42	27	208	75	59	-69
3	542	0.105	68	70	84	0.03						
3	878	0.050	78	-51	68	0.06						
3	3952	0.094	87	41	17	0.22						
3	4287	0.040	82	61	60	0.2	311	46	18	94	57	63
4	474	0.038	83	36	44	0.28						
1	1147	0.060	83	63	26	0.37						
4	4223	0.049	83	70	78	0.11						
1	1681	0.045	80	7	65	0.08	80	67	93	137	58	-41
5	10793	0.037	97	37	74	0.33					57	39
5	10293	0.017	91	14	91	0.03					77	119
5	1306	0.013	91	33	59	0.2					66	84
5	13105	0.026	93	22	81	0.09	78	39	-69	252	54	-106
6	16568	0.087	92	-42	61	0.19	254	32	-34	5	78	-119
6	1763	0.012	93	28	12	0.29	285	30	-71	83	62	-101
7	10761	0.020	97	46	49	0.25	81	41	85	254	49	95
7	10748	0.020	93	55	47	0.07	121	53	86	28	83	46
7	1309	0.027	91	60	65	0.18	145	36	-49	108	68	-119
7	16328	0.022	93	46	10	0.15	356	45	-19	127	58	-124
7	1422	0.013	92	54	76	0.12	164	41	79	195	80	49
8	10978	0.013	91	34	55	0.04	153	50	70	250	82	71
8	16382	0.003	95	44	34	0.38	39	47	38	279	66	126
8	11345	0.022	93	41	58	0.27	145	21	29	277	71	77
8	13113	0.034	96	37	23	0.33	260	79	190	108	80	-11
8	17780	0.013	96	0	93	0.03	260	20	202	88	83	71

等方成分が負

crushing events

等方成分が正

tensile crack formation

大きいダブルカップル成分

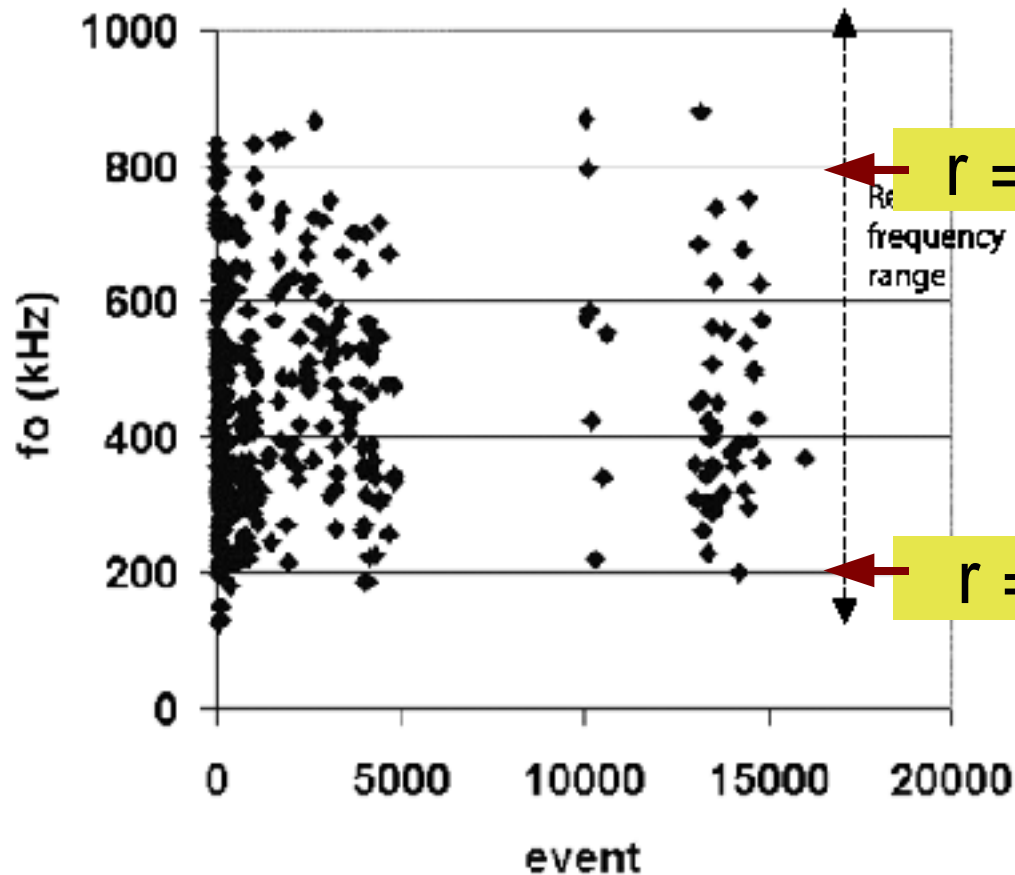
shear

*Percentage of ultimate uniaxial strength.

等方成分

ダブルカップル成分

コーナー周波数



$$r = \frac{2.34}{\pi} \frac{\beta}{f_0}$$

異なるサイズのイベントが同時に起こっている

Figure 8. Plot of f_0 versus event number.

見かけ応力 (apparent stress), 放射エネルギー

- 放射エネルギー

$$E = 4 \pi \rho R^2 \left(\alpha \int_{t_p}^{t_s} v(t)^2 dt + \beta \int_{t_s}^{t_f} v(t)^2 dt \right)$$

- 見かけ応力

$$\tau_a = \frac{G E}{M_0}$$

- 放射効率

$$\eta = \frac{\tau_a}{\tau_0} \longleftarrow \text{Applied shear stress}$$

地震モーメント v.s. 放射エネルギー

Mw -9.4 -2.7 3.9 10.6?

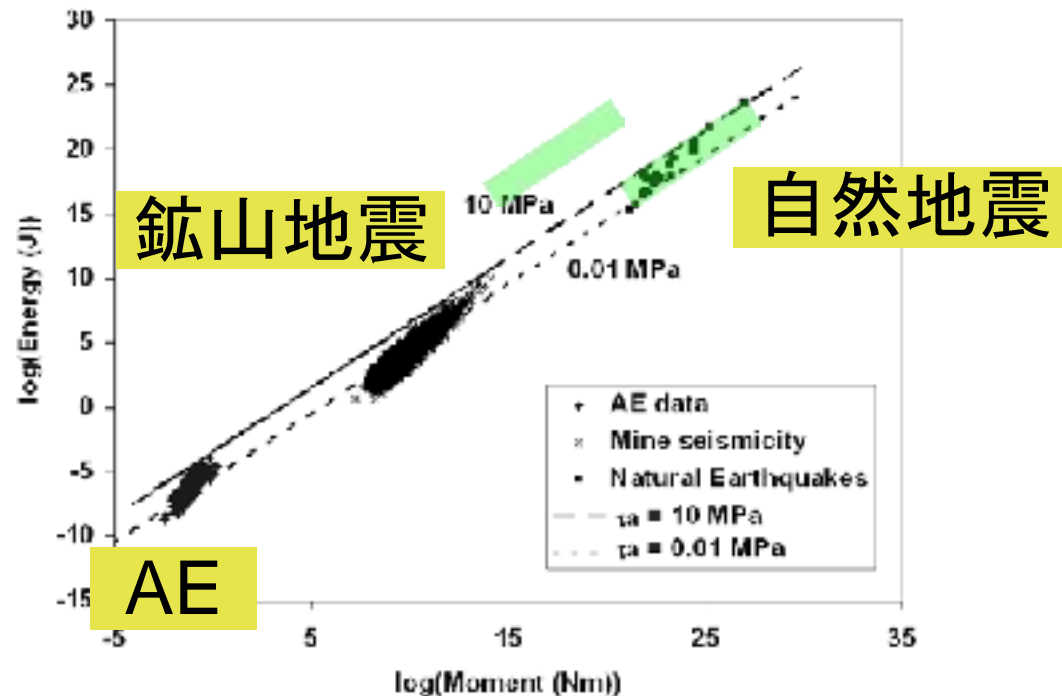
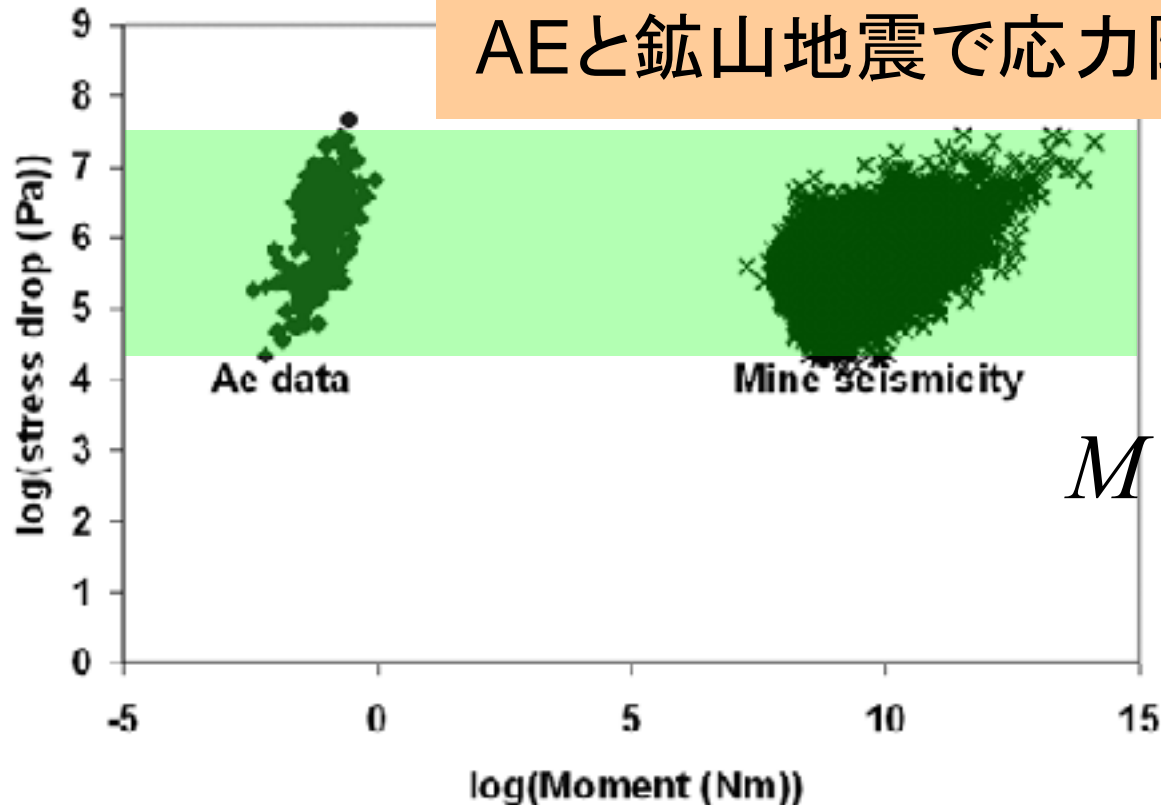


Figure 9. Plot of log (energy) versus log (moment) for AE (diamonds) and mining-induced events (crosses) from 5 years of mining at a site on a deep-level gold mine in South Africa [McGarr, 1984b] and natural earthquakes (squares) from the work of Kanamori *et al.*, 1993. Dashed lines are lines of constant apparent stress.

応力降下量の規模依存性

AEと鉱山地震で応力降下一定!



$$\Delta \sigma = \frac{7}{16} \frac{M_0}{r^3}$$

$$M_0 = 4 \pi \rho \beta^3 R \Omega_0 / f_{\theta\phi}^\beta$$

$$r = \frac{2.34}{\pi} \frac{\beta}{f_0}$$

Mw -9.4 -6.1 -2.7 -0.6 3.9

Figure 10. Plot of log (stress drop) against log (moment). Diamonds represent AE data and crosses represent mine data from 5 years of mining at a site on a deep-level gold mine in South Africa.

断層サイズの規模依存性

AEと鉱山地震で同じスケーリング則にのる!

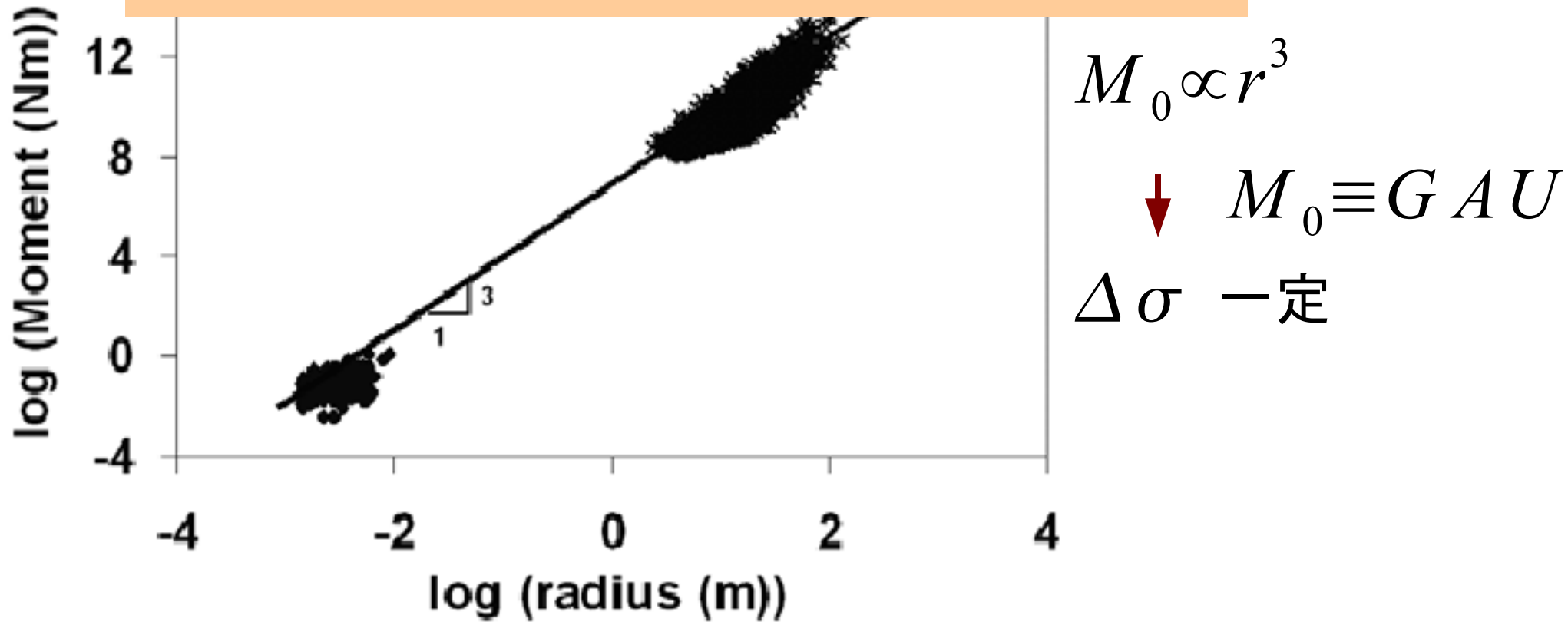


Figure 11. Log of seismic moment compared to event radius.

Peak ground velocity

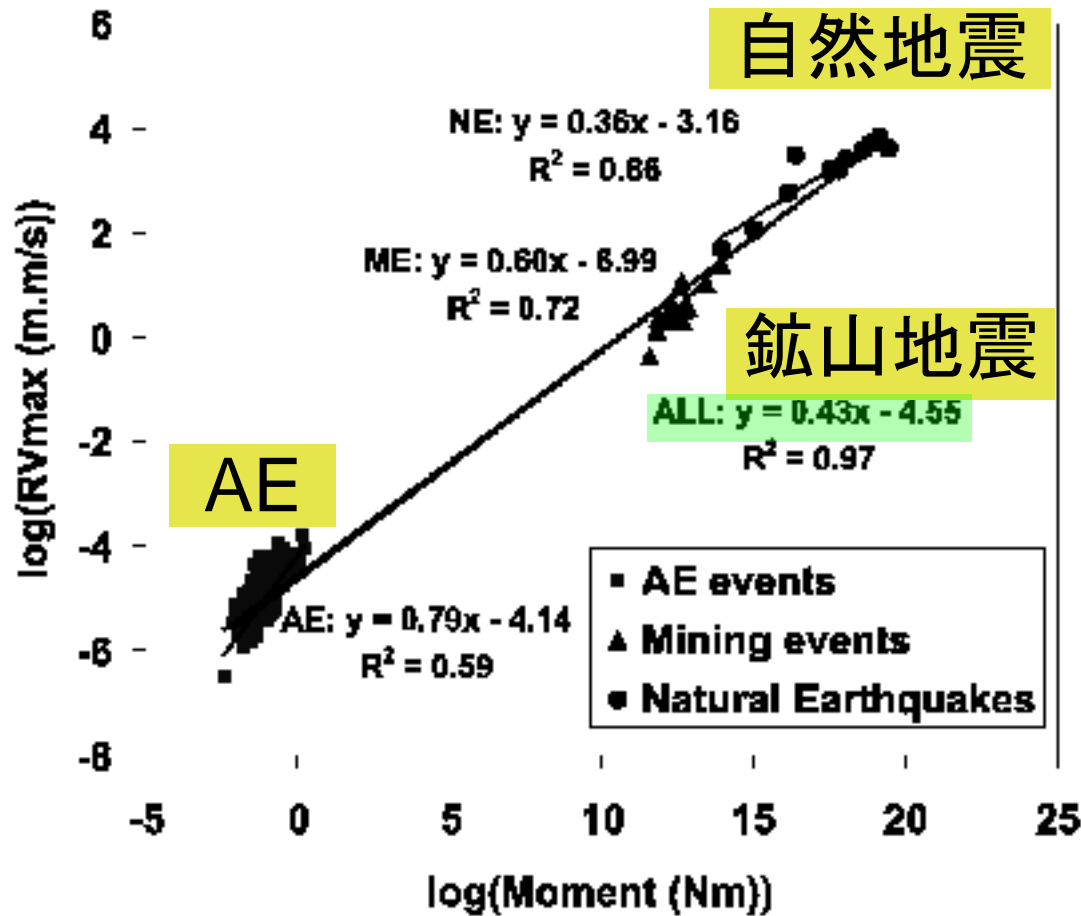


Figure 12. Measured peak velocity parameter versus moment. Filled squares represent AE, triangles represent mine events, and circles represent natural earthquakes (mine and earthquake data are from the work of McGarr [1993]).

$$RV_{\max} = \frac{0.57 \beta \Delta \sigma r}{G}$$

↑
距離

$\Delta \sigma$ 一定なら、

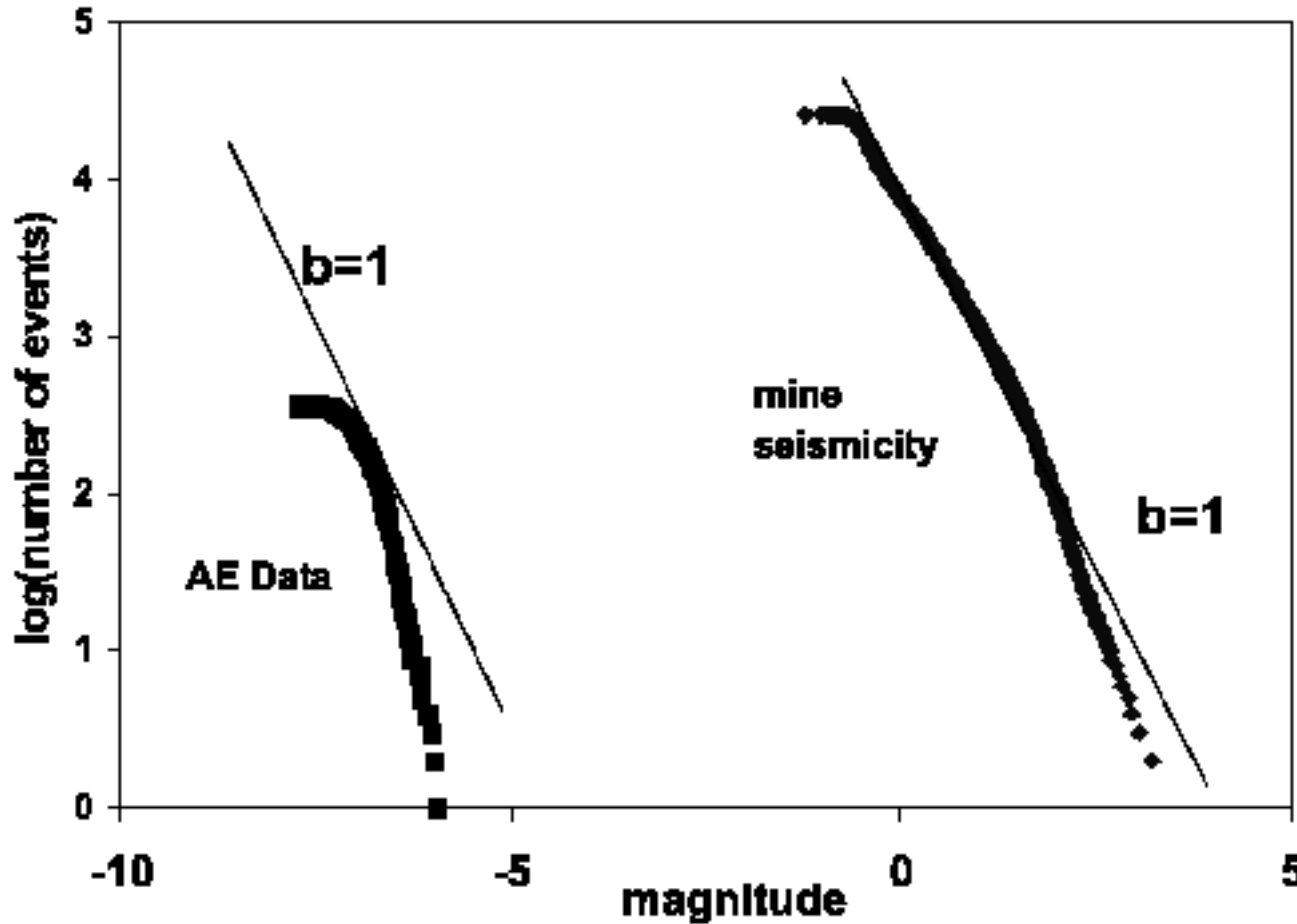
$$M_0 \propto r^3 \text{ なので}$$

$$RV_{\max} \propto M_0^{1/3}$$

全データでは

$$RV_{\max} \propto M_0^{0.43}$$

地震規模累積頻度分布



b=1 ?

狭い規模のレンジしか捉えられていない

センサーの周波数レンジが狭い影響

Figure 14. Frequency-magnitude relationship plot for AE and mine data from 5 years of mining on a deep-level gold mine in South Africa.

まとめ

メカニズム: ほとんどのイベントでダブルカップルが卓越

shear の存在

AE, 鉱山地震, 自然地震で単一のスケーリング則

震源は自己相似的

感想:

- ・示されているスケーリング関係は、AEと地震との両者をつなげられているが、AEデータだけの傾向とはあまり一致していない
- ・もっと広いレンジで調べて欲しい

Peak acceleration

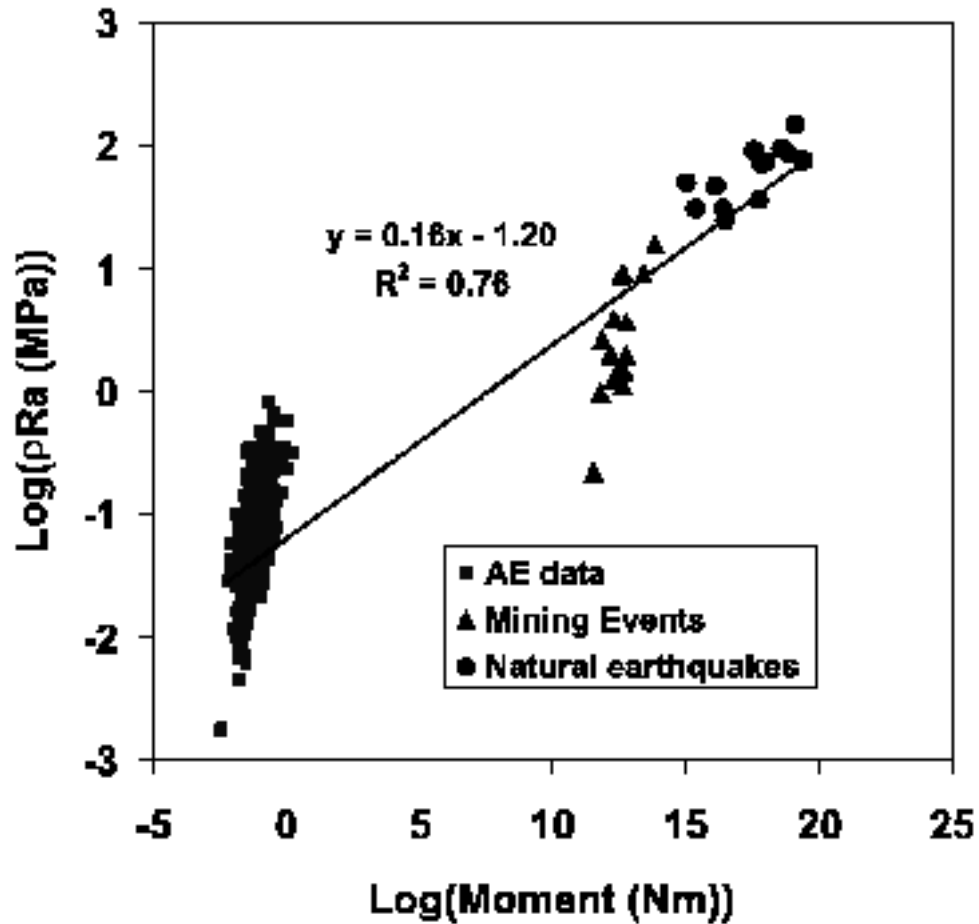


Figure 13. Measured peak acceleration parameter versus moment. Filled squares represent AE, triangles represent mine events, and circles represent natural earthquakes (mine and earthquake data are from the work of McGarr [1993]).

Fracture surface

10mm

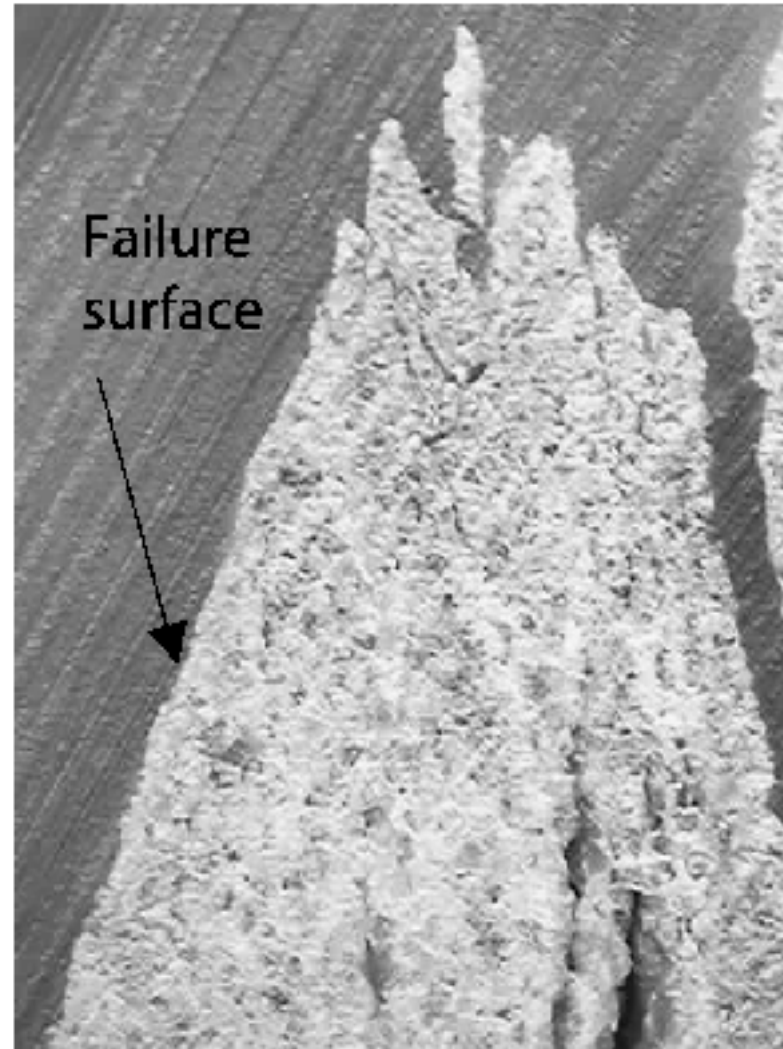


Figure 6. Photograph of a section through a part of the failed sample showing the vertical fractures associated with the steeply dipping failure surface.

センサーの検定

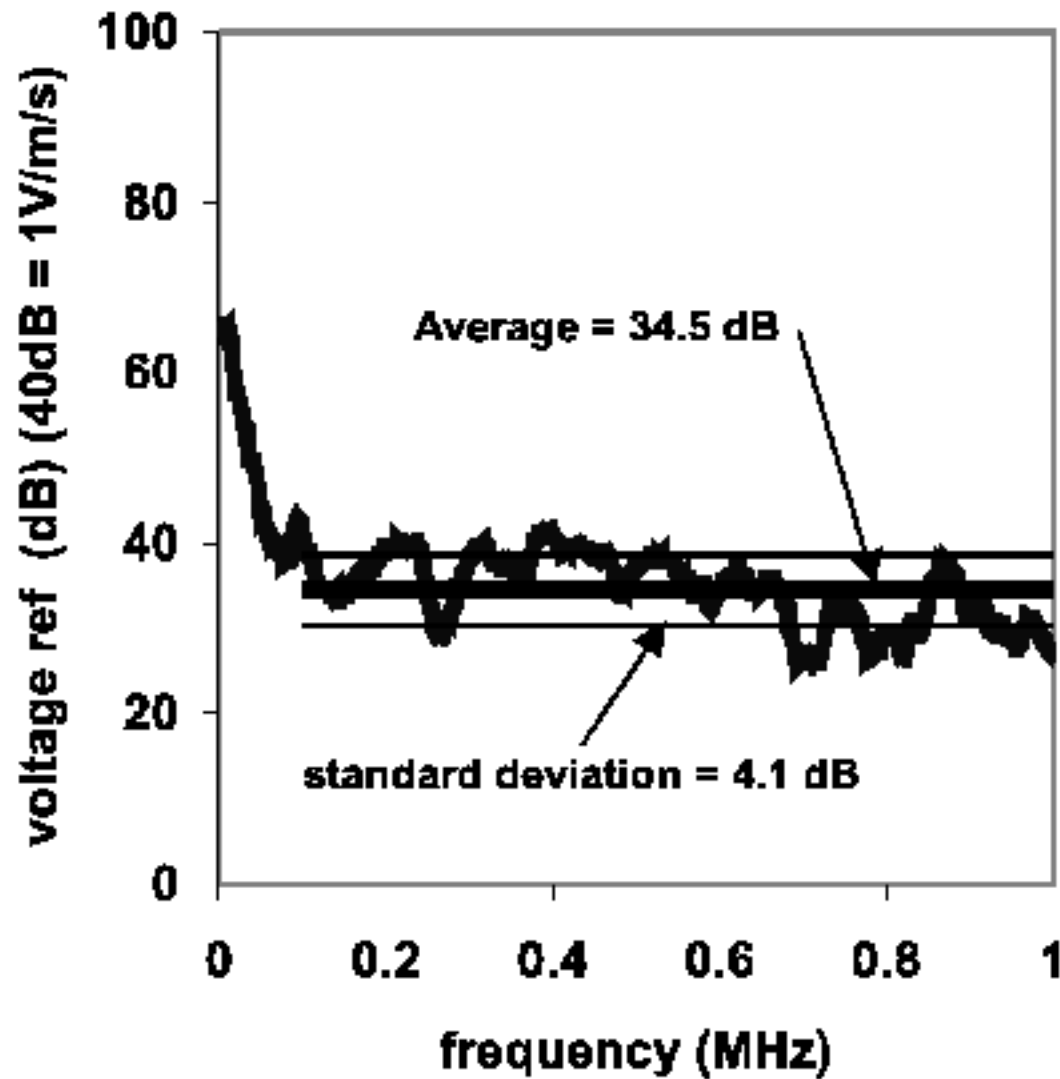


Figure A1. Velocity sensitivity of a typical S9225 sensor.